

## การใช้ทาร์เก็ตสองมิติแบบไม่สมมาตรในช่องสัญญาณการบันทึกบิตแพทเทิร์นเมดีเยบแบบ Staggered Employing an Asymmetric 2-D Target in Staggered Bit-Patterned Media Recording Channel

สันติ คุณการข่าย<sup>1</sup> และ ปิยะ โภวินท์พิริเวชานน<sup>2</sup>

ศูนย์วิจัยเทคโนโลยีการบันทึกข้อมูล มหาวิทยาลัยราชภัฏนราธิวาสราชนครินทร์

<sup>1</sup>santi@webmail.npru.ac.th, <sup>2</sup>piya@npru.ac.th

CM15

### บทคัดย่อ

การบันทึกแบบบิตแพทเทิร์นเมดีเยบ (BPMR: bit-patterned media recording) ถือเป็นเทคโนโลยีใหม่สำหรับการเพิ่มความจุข้อมูลของฮาร์ดดิสก์ไดร์ฟ โดยทั่วไปผลกระทบหลักของระบบ BPMR ประกอบด้วยการแทรกสอดระหว่างแทร็ก (ITI: intertrack interference), สัญญาณรบกวนจากสื่อบันทึก (media noise) และแทร็กมิสเรจิสทรีชัน (TMR: track mis-registration) บทความนี้ศึกษาการใช้ทาร์เก็ตสองมิติแบบไม่สมมาตรเพื่อลดผลกระทบจาก ITI, TMR และสัญญาณรบกวนจากสื่อบันทึกในระบบ BPMR ที่มีรูปแบบของไอโอแลนด์เป็นแบบ staggered จากผลการทดลองพบว่าการใช้ทาร์เก็ตสองมิติให้สมรรถนะที่ดีกว่าทาร์เก็ตแบบอื่น ๆ นอกจากนี้ทาร์เก็ตสองมิติแบบไม่สมมาตรชั้งคงทันทานด้วยสัญญาณรบกวนสื่อบันทึกและ TMR ด้วย

**คำสำคัญ:** การบันทึกเชิงแม่เหล็ก, การออกแบบทาร์เก็ตและอิควาโลไซเซอร์

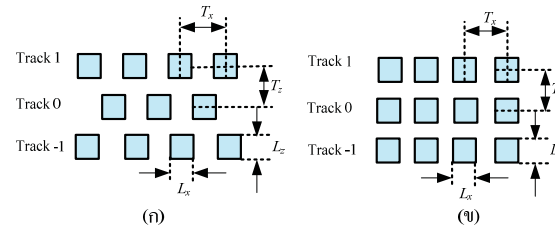
### Abstract

Bit-patterned media recording (BPMR) is a new technology to increase the storage capability of the hard disk drives (HDDs). Generally, the major effects of the BPMR system include intertrack interference (ITI), media noise, and track mis-registration (TMR). This paper investigates the use of an asymmetric 2-D target so as to mitigate the effect of ITI, TMR, and media noise in a staggered BPMR channel. Simulation results show that the 2-D target provides a better performance than the other targets. In addition, we found that the asymmetric 2-D target is also robust to media noise and TMR.

**Keywords:** magnetic recording, target and equalizer design

### 1. บทนำ

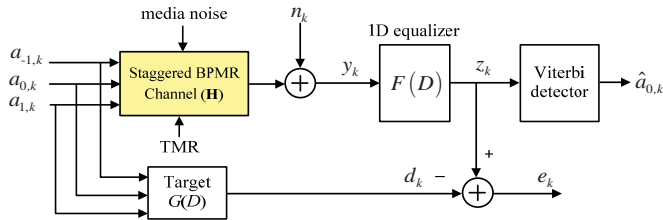
การบันทึกแบบบิตแพทเทิร์นเมดีเยบ (BPMR: bit-patterned media recording) ถือเป็นเทคโนโลยีการบันทึกเชิงแม่เหล็กแบบใหม่ที่อาจจะนำมาใช้แทนเทคโนโลยีการบันทึกเชิงแม่เหล็กแบบแนวตั้ง (PMR: perpendicular magnetic recording) ที่ใช้ออยู่ในฮาร์ดดิสก์ไดร์ฟในปัจจุบัน ซึ่งกำลังเข้าใกล้ปรากฏการณ์ซูเปอร์พารามגנטיติก (super-paramagnetic)



รูปที่ 1 สื่อบันทึก (a) แบบ staggered และ (b) แบบกริดที่เหลื่อมมุมจาก

ที่ทำให้มีสามารถเพิ่มความจุเชิงพื้นที่ (AD: areal density) ของฮาร์ดดิสก์ไดร์ฟได้มากกว่า 1 เท่าบิตต่อตารางนิ้ว (Tbit/in<sup>2</sup>) [1] ในขณะที่ระบบการบันทึกแบบ BPMR สามารถเพิ่ม AD ได้สูงถึง 4 Tbit/in<sup>2</sup> [2] และเมื่อใช้งานร่วมกับเทคโนโลยีการบันทึกแบบพลังงานเข้าช่วงที่ซึ่งสามารถเพิ่ม AD ได้สูงถึง 10 Tbit/in<sup>2</sup> อย่างไรก็ตามผลกระทบในระบบ BPMR ที่ส่งผลทำให้สมรรถนะของระบบด้อยลงประกอบด้วย การแทรกสอดระหว่างสัญลักษณ์ (ISI: intersymbol interference) และการแทรกสอดระหว่างแทร็ก (ITI: intertrack interference) โดยเฉพาะอย่างยิ่งเมื่อ AD มีค่าเพิ่มขึ้น นอกจากนี้สัญญาณรบกวนสื่อบันทึกเป็นอิฐปูมหานั่งที่ไม่สามารถหลีกเลี่ยงได้ ซึ่งเกิดจากไอโอแลนด์แต่ละไอโอแลนด์ที่สูญเสียร่องไม่เหมือนกันหรือแตกไม่ออกในตำแหน่งที่กำหนด นอกจากนี้สื่อบันทึกแบบ staggered ที่ออกแบบมาเพื่อต้านทาน ITI ด้วยวิธีการบันทึกแบบ staggered แต่ยังคงมีผลกระทบต่อ ISI อย่างมาก สาเหตุนี้คือความไม่สมมาตรของสัญญาณรบกวนที่สื่อบันทึกแบบ staggered ที่มีขนาดใหญ่กว่าสื่อบันทึกแบบ rectangular grid [3] เมื่อ  $T_x$  คือความของบิต (bit period),  $T_z$  คือระยะแทร็ก (track pitch),  $L_x$  คือความกว้างของไอโอแลนด์ในทิศทางตามแทร็ก และ  $L_z$  คือความกว้างของไอโอแลนด์ในทิศทางข้ามแทร็ก ดังนั้นบทความนี้จะเน้นไปที่สื่อบันทึกแบบ staggered และจะใช้คำว่าระบบ BPMR แบบ staggered แทนระบบ BPMR ที่ใช้สื่อบันทึกแบบ rectangular grid

ในทางปฏิบัติการแก้ปัญหาผลกระทบต่างๆ ที่เกิดขึ้นในระบบ BPMR แบบ staggered มีจำนวนมาก เช่น Ng *et al.* [3] ได้ออกแบบช่องสัญญาณสำหรับระบบ BPMR แบบ staggered และออกแบบทาร์เก็ต



รูปที่ 2 แบบจำลองช่องสัญญาณ BPMR

หนึ่งมิติที่มีการนำสัญญาณรบกวนจากสื่อบันทึกไปใช้ในการออกแบบ พบว่าการนำสัญญาณรบกวนจากสื่อบันทึกมาใช้ในการออกแบบทำให้ระบบบทบาทต่อสัญญาณรบกวนจากสื่อบันทึกมากขึ้น นอกจากนี้ Koonkarnkhai *et al.* [4] ได้นำเสนอการออกแบบทาร์เก็ตสองมิติแบบใหม่ สามารถสำหรับช่องสัญญาณ BPMR ที่มีสื่อบันทึกเป็นแบบกริดสี่เหลี่ยม หมุนจาก ผลกระทบของพื้นที่ที่ต้องออกแบบนั้นๆ เมื่อระบบมีผลกระทบจากสัญญาณรบกวนสื่อบันทึกและ TMR ดังนั้นในบทความนี้จึงได้ทำการศึกษาการใช้ทาร์เก็ตสองมิติที่นำเสนอใน [4] กับช่องสัญญาณ BPMR ที่มีสื่อบันทึก เป็นแบบ staggered

## 2. แบบจำลองช่องสัญญาณ BPMR

รูปที่ 2 แสดงแบบจำลองช่องสัญญาณ BPMR แบบ staggered เมื่อคำนับ ข้อมูลอินพุต  $a_{j,k} \in \{1, -1\}$  เมื่อ  $j = 0$  คือลำดับข้อมูลแทร็กกลาง,  $j = 1$  คือลำดับข้อมูลแทร็กขวา และ  $j = -1$  คือลำดับข้อมูลแทร็กซ้าย ถูกส่งเข้าไปยังช่องสัญญาณ BPMR แบบ staggered โดยที่ พลตอบสนองของช่องสัญญาณแบบสองมิติที่มีผลกระทบจากสัญญาณรบกวนสื่อบันทึกแสดงในสมการ (1) เมื่อ  $a, b, c, d$  และ  $e$  คือค่าคงตัว,  $T_{50x}$  และ  $T_{50z}$  คือช่วงการเปลี่ยนสถานะของพลตอบสนองจาก แอมเพลจูด  $-50\%$  ไปถึงแอมเพลจูด  $+50\%$  ในทิศทางตามแทร็กและ ทิศทางข้ามแทร็กตามคำนับ,  $TMR = (\Delta_{TMR} / T_z) \times 100$  คือ พลผลกระทบจาก TMR มีหน่วยเป็นเปอร์เซ็นต์,  $\Lambda_x$  และ  $\Lambda_z$  คือความผันผวนของขนาดของไอโอลนด์ (size fluctuation) ในทิศทางตามแทร็กและ ทิศทางข้ามแทร็กตามคำนับ, และ  $\Delta_x$  และ  $\Delta_z$  คือความผันผวนของ คำแห่งของไอโอลนด์ในทิศทางตามแทร็กและทิศทางข้ามแทร็กตาม คำนับ นอกจากนี้ทิศความนี้พิจารณาช่องสัญญาณที่มีความจุซิงฟิลด์ (AD) เท่ากับ  $4 \text{ Tbit/m}^2$  ซึ่งค่าของพารามิเตอร์ต่างๆ ของหัวอ่านและสื่อบันทึกแสดงในตารางที่ 1 ดังนั้นสัญญาณอ่านกลับ (readback signal)

ตารางที่ 1 พารามิเตอร์ของหัวอ่านและสื่อบันทึก [3]

พารามิเตอร์	ค่าเริ่มต้น
Along-track island width $L_x$	6.35 nm
Across-track island width $L_z$	6.35 nm
Bit period $T_x$	12.7 nm
Track pitch $T_z$	12.7 nm
GMR head element thickness	3 nm
GMR head element width	15 nm
$T_{50x}$	6.4
$T_{50z}$	10.3
$a$	0.02
$b$	0.77
$c$	7.37
$d$	0.87
$e$	6.72

เขียนเป็นสมการคณิตศาสตร์ได้ตามสมการ (2) เมื่อ  $h$  คือค่าสัมประสิทธิ์ของช่องสัญญาณ BPMR แบบสองมิติในสมการ (1) ซึ่งจะถูกหักตัวอย่าง เวลา  $T_x$  และ  $T_z$ , และ  $n_k$  คือ รบกวนເກາະสีขาวแบบบวก (AWGN: additive white Gaussian noise) ที่มีค่าเฉลี่ยเท่ากับศูนย์และความแปรปรวนเท่ากับ  $\sigma^2$

สัญญาณสัญญาณรบกวนสื่อบันทึกจะสุ่มด้วย  $\Delta_x, \Delta_z, \Lambda_x$  และ  $\Lambda_z$  ตัวแปรสุ่มแบบເກາະที่มีค่าเฉลี่ยเท่ากับศูนย์และความแปรปรวน  $\sigma_{\Delta x}^2, \sigma_{\Delta z}^2, \sigma_{\Lambda x}^2$  และ  $\sigma_{\Lambda z}^2$  ตามคำนับและเมื่อค่าลักษณะเบอร์เช็นต์ ( $x\%$ ) ของสัญญาณรบกวนสื่อบันทึกจะหมายถึง ค่าส่วนเบี่ยงเบนมาตรฐานของ แต่ละตัวแปรเป็นเบอร์เช็นต์ของ  $T_x, T_z, L_x$  และ  $L_z$  ตามคำนับ

วงจรกรากับ สัญญาณอ่านกลับ  $y_k$  ถูกส่งเข้าไปยังวงจรอีคาว ໄลดเซอร์เพื่อทำหน้าที่ในการปรับสัญญาณให้เป็นไปตามทาร์เก็ต  $G(D)$  ที่

$$H(z + \Delta_{TMR}, x) = a \cdot \exp \left( -b \left( \frac{x + \Delta_x}{T_{50x}} \right)^2 \right) \cdot (\Lambda_x + c) \cdot \exp \left( -d \left( \frac{z + \Delta_z}{T_{50z}} \right)^2 \right) \cdot (\Lambda_z + e) \quad (1)$$

$$y_k = \sum_{n=-1}^1 a_{0,k-n} h(0, n) + \sum_{n=0}^1 a_{1,k-n} h\left(1, n - \frac{1}{2}\right) + \sum_{n=0}^1 a_{-1,k-n} h\left(-1, n - \frac{1}{2}\right) \quad (2)$$

ต้องการทำให้ได้ลำดับข้อมูล  $z_k$  หลังจากนั้น  $z_k$  จะถูกส่งไปปัจจุบันตรวจสอบหาไวเตอร์บี (Viterbi detector) [5] เพื่อทำการหาลำดับข้อมูลอินพุต  $a_{0,k}$  ที่ควรจะเป็นมากสุด

### 3. การออกแบบทาร์เก็ตและอีกวาไอลเซอร์

บทความนี้จะเปรียบเทียบสมรรถนะของระบบเมื่อใช้ทาร์เก็ตหนึ่งมิติ, ทาร์เก็ตสองมิติแบบที่มีมูนเท่ากับศูนย์, ทาร์เก็ตสองมิติแบบสมมาตร, และทาร์เก็ตสองมิติแบบไม่สมมาตร ซึ่งในหัวข้อนี้จะอธิบายการออกแบบอีกวาไอลเซอร์และทาร์เก็ตแบบต่างๆ บนหลักการของข้อผิดพลาดกำลังสองเฉลี่ยที่น้อยที่สุด (MMSE: minimum mean-squared error) [6] ดังนี้

#### 3.1 การออกแบบทาร์เก็ตหนึ่งมิติ

จากรูปที่ 2 เมื่อ  $e_k$  คือผลลัพธ์ระหว่างเอต้าพุดของวงจรอีกวาไอลเซอร์และเอาเดพุดของทาร์เก็ต ซึ่งมีค่าเท่ากัน

$$e_k = z_k - d_k = (y_k * f_k) - (a_{j,k} \otimes g_{j,k}) \quad (3)$$

เมื่อ \* คือตัวดำเนินการคอนโวลูชันหนึ่งมิติ (1-D convolution operator),  $\otimes$  คือตัวดำเนินการคอนโวลูชันสองมิติ, และ  $g_{j,k}$  คือค่าสัมประสิทธิ์ของทาร์เก็ต โดยทาร์เก็ตสามารถเขียนให้อยู่ในรูปของเมทริกซ์ได้ดัง

$$\mathbf{G} = \begin{bmatrix} g_{-1,0} & g_{-1,1} & g_{-1,2} \\ g_{0,0} & g_{0,1} & g_{0,2} \\ g_{1,0} & g_{1,1} & g_{1,2} \end{bmatrix} \quad (4)$$

สำหรับทาร์เก็ตหนึ่งมิติจะพิจารณาเฉพาะ  $g_{0,k}$  เท่านั้น ถ้ากำหนดให้  $\mathbf{f} = [f_{-K} \dots 0 \dots f_K]^T$  คือเวกเตอร์แนวตั้งของอีกวาไอลเซอร์ และ  $\mathbf{g} = [g_{0,0} \ g_{0,1} \ g_{0,2}]^T$  คือเวกเตอร์แนวตั้งของทาร์เก็ต เมื่อ  $K = 2N + 1$  คือจำนวนแนบ (tap) ของอีกวาไอลเซอร์,  $L$  คือจำนวนเที่ยบของทาร์เก็ต ( $L = 3$  สำหรับทาร์เก็ตหนึ่งมิติ), และ  $[.]^T$  คือตัวดำเนินการเมทริกซ์ทวนสิ่งที่  $\mathbf{f}$  ดังนั้นข้อผิดพลาดกำลังสองเฉลี่ย (MSE: mean-squared error) เป็น

$$E[e_k^2] = E[(z_k - d_k)^2] \quad (5)$$

$$= E[(\mathbf{f}^T \mathbf{y}_k - \mathbf{g}^T \mathbf{a}_k)(\mathbf{f}^T \mathbf{y}_k - \mathbf{g}^T \mathbf{a}_k)^T] \quad (6)$$

เมื่อ  $E[.]$  คือตัวดำเนินการความคาดหมาย (expectation operator) โดยกระบวนการทำให้ค่า MSE น้อยสุดจะใช้เงื่อนไขบังคับแบบโนミニเพื่อให้เกิดผลลัพธ์ที่จะได้  $\mathbf{f} = \mathbf{0}$  และ  $\mathbf{g} = \mathbf{0}$  โดยสมการ (6) จะรูปได้เป็น

$$E[e_k^2] = \mathbf{f}^T \mathbf{R} \mathbf{f} + \mathbf{g}^T \mathbf{A} \mathbf{g} - 2\mathbf{f}^T \mathbf{T} \mathbf{g} - 2\lambda(\mathbf{I}^T \mathbf{g} - 1) \quad (7)$$

เมื่อ  $\lambda$  คือตัวคูณลากรางจ์ (Lagrange multiplier),  $\mathbf{I} = [0 \ 1 \ 0]^T$ ,  $\mathbf{R} = E[\mathbf{y}_k \mathbf{y}_k^T]$  คือค่าอัตโนมัติพันธ์ (auto-correlation) ของ  $\mathbf{y}_k$  ที่มีขนาดเท่ากัน  $N \times N$ , และ  $\mathbf{A} = E[\mathbf{a}_k \mathbf{a}_k^T]$  คือค่าอัตโนมัติพันธ์ของ  $\mathbf{a}_k$

ที่มีขนาดเท่ากัน  $L \times L$ , และ  $\mathbf{T} = E[\mathbf{y}_k \mathbf{a}_k^T]$  คืออัตโนมัติพันธ์ข้าม (cross-correlation) ระหว่าง  $\mathbf{y}_k$  และ  $\mathbf{a}_k$  ที่มีขนาดเท่ากัน  $N \times L$ , เมื่อ  $\mathbf{a}_k = [a_{0,k} \ a_{0,k-1} \ a_{0,k-2}]^T$  และ  $\mathbf{y}_k = [y_{k+K} \dots y_k \dots y_{k-K}]^T$  จากนั้นทำการหาอนุพันธ์ของสมการ (7) เทียบกับ  $\lambda$ ,  $\mathbf{f}$  และ  $\mathbf{g}$  และให้ผลลัพธ์ของแต่ละสมการเท่ากับค่าศูนย์ที่จะได้

$$\lambda = \frac{1}{\mathbf{I}^T (\mathbf{A} - \mathbf{T}^T \mathbf{R}^{-1} \mathbf{T})^{-1} \mathbf{I}} \quad (8)$$

$$\mathbf{g} = \lambda (\mathbf{A} - \mathbf{T}^T \mathbf{R}^{-1} \mathbf{T})^{-1} \quad (9)$$

$$\mathbf{f} = \mathbf{R}^{-1} \mathbf{T} \mathbf{g} \quad (10)$$

#### 3.2 การออกแบบทาร์เก็ตสองมิติแบบที่มีมูนเท่ากับศูนย์

การออกแบบทาร์เก็ตสองมิติแบบที่มีมูนเท่ากับศูนย์จะกำหนดให้  $g_{-1,0}$ ,  $g_{-1,2}$ ,  $g_{1,0}$  และ  $g_{1,2}$  มีค่าเท่ากับศูนย์ โดยทั่วไปแล้วการออกแบบของทาร์เก็ตนี้จะมีวิธีการที่เหมือนกันที่อธิบายในหัวข้อที่ 3.1 โดยเปลี่ยนเงน้ำเวกเตอร์ต่างๆ ดังนี้  $\mathbf{a}_k = [a_{0,k} \ a_{-1,k-1} \ a_{0,k-1} \ a_{1,k-1} \ a_{0,k-2}]^T$ ,  $\mathbf{g} = [g_{0,0} \ g_{-1,1} \ g_{0,1} \ g_{1,1} \ g_{0,2}]^T$ , และ  $\mathbf{I} = [0 \ 0 \ 1 \ 0 \ 0]^T$  โดยให้  $L = 5$

#### 3.3 ทาร์เก็ตสองมิติแบบสมมาตร

จากสมการ (4) ในการออกแบบจะบังคับให้  $g_{-1,0} = g_{1,0}$ ,  $g_{-1,1} = g_{1,1}$  และ  $g_{-1,2} = g_{1,2}$  และใช้วิธีการออกแบบตามในหัวข้อที่ 3.1 โดยทำการเปลี่ยนค่าเวกเตอร์ต่างๆ ดังนี้  $\mathbf{a}_k = [(a_{-1,k} + a_{1,k}) \ a_{0,k} \ (a_{-1,k-1} + a_{1,k-1}) \ a_{0,k-1} \ (a_{-1,k-2} + a_{1,k-2}) \ a_{0,k-2}]^T$ ,  $\mathbf{g} = [g_{-1,0} \ g_{0,0} \ g_{-1,1}]^T$ , และ  $\mathbf{I} = [0 \ 0 \ 0 \ 1 \ 0]^T$

#### 3.4 ทาร์เก็ตสองมิติแบบไม่สมมาตร

การออกแบบทาร์เก็ตสองมิติแบบไม่สมมาตร ค่าสัมประสิทธิ์ของทาร์เก็ตแต่ละตัวจะเป็นนิสระจากกันโดยไม่มีเงื่อนไขมาบังคับ ดังนั้นการออกแบบจะใช้วิธีการออกแบบตามในหัวข้อที่ 3.1 โดยแทนค่าเวกเตอร์ต่างๆ ดังนี้  $\mathbf{a}_k = [a_{-1,k} \ a_{0,k} \ a_{1,k} \ a_{-1,k-1} \ a_{0,k-1} \ a_{1,k-1} \ a_{-1,k-2} \ a_{0,k-2}]^T$ ,  $\mathbf{g} = [g_{-1,0} \ g_{0,0} \ g_{1,0} \ g_{-1,1} \ g_{0,1} \ g_{1,1} \ g_{-1,2} \ g_{0,2} \ g_{1,2}]^T$ , และ  $\mathbf{I} = [0 \ 0 \ 0 \ 0 \ 1 \ 0 \ 0 \ 0]^T$

### 4. ผลของการทำแบบจำลอง

พิจารณาแบบจำลองช่องสัญญาณในรูปที่ 2 เมื่อกำหนดให้อัตราส่วนกำลังของสัญญาณต่อกำลังของสัญญาณรบกวน (SNR: signal-to-noise ratio) คือ  $\text{SNR} = 20 \log_{10}(1/\sigma)$  มีหน่วยเป็นเดซิเบล (dB: decibel) โดยการเปรียบเทียบสมรรถนะของทาร์เก็ตแต่ละแบบจะใช้อีกวาไอลเซอร์จำนวน 15 แท็บ การออกแบบทาร์เก็ตและอีกวาไอลเซอร์จะออกแบบบน SNR ที่ทำให้เกิดอัตราข้อผิดพลาดบิต  $\text{BER} \approx 10^{-4}$  และออกแบบเมื่อระบบมีผลกระทบจากสัญญาณรบกวนสื่อบันทึกและ TMR

สำหรับการจำลองระบบจะใช้ข้อมูลจำนวน 10000 เรซิเกตอร์ในการคำนวณข้อมูลเดลต์ SNR (1 เรซิเกตอร์เท่ากับ 4096 บิต) และใช้ความจุขึ้นพื้นที่เท่ากับ  $4 \text{ Tbit/in}^2$  ดังนี้เมทริกซ์ของผลตอบสนองของสัญญาณ BPMR ที่ได้จากการซักตัวอย่างสมการ (1) มีค่าเท่ากับ [3]

$$\mathbf{H} = \begin{bmatrix} 0.123 & 0.123 \\ 0.043 & 0.994 & 0.043 \\ 0.123 & 0.123 \end{bmatrix} \quad (11)$$

จากรูปที่ 3 แสดงผลของการเปรียบเทียบสมรรถนะในรูปแบบของอัตราข้อผิดพลาดของบิตกับ SNR ของแต่ละระบบเมื่อไม่มีผลกระทบจากสัญญาณรบกวนสื่อบันทึกและ TMR โดยที่ “1D target” คือระบบที่ใช้ทาร์เก็ตหนึ่งมิติ, “Zero-corner 2D target” คือระบบที่ใช้ทาร์เก็ตสองมิติแบบที่มีมุมเท่ากับศูนย์, “Symmetric 2D target” คือระบบที่ใช้ทาร์เก็ตสองมิติแบบสมมาตร, และ “Asymmetric 2D target” คือระบบที่ใช้ทาร์เก็ตสองมิติแบบไม่สมมาตร จากรезультатแสดงให้เห็นว่าการใช้ทาร์เก็ตสองมิติจะให้สมรรถนะที่ดีกว่าทาร์เก็ตแบบหนึ่งมิติ โดยทาร์เก็ตสองมิติทั้ง 3 แบบมีสมรรถนะใกล้เคียงกัน เพราะระบบ BPMR แบบ staggered มีความรุนแรงของ ITI ต่ำกว่าแบบกริดมุมฉาก

รูปที่ 4 แสดงสมรรถนะของระบบในรูปแบบของความรุนแรงของสัญญาณรบกวนสื่อบันทึกต่างๆ กับ SNR ที่ทำให้ได้ BER  $\approx 10^{-4}$  จากผลการทดลองพบว่าทาร์เก็ตสองมิติแบบไม่สมมาตรทันทนาต่อสัญญาณรบกวนสื่อบันทึกมากกว่าทาร์เก็ตแบบอื่น ตามที่ว่าทาร์เก็ตสองมิติแบบสมมาตร ทาร์เก็ตสองมิติที่มีมุมเท่ากับศูนย์ และทาร์เก็ตหนึ่งมิติ ตามลำดับ

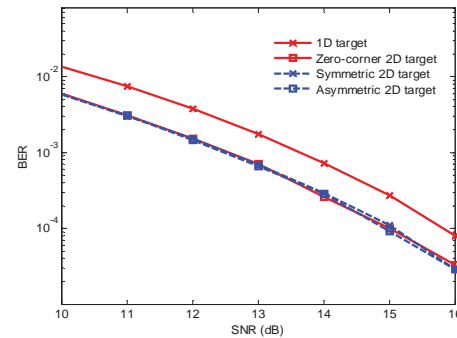
สมรรถนะของระบบเมื่อมีผลกระทบจาก TMR ถูกแสดงในรูปที่ 5 ซึ่งพบว่าสมรรถนะของทาร์เก็ตสองมิติแบบไม่สมมาตร ให้สมรรถนะที่ดีกว่าแบบอื่นๆ ซึ่งอาจเป็นเพราะว่า ค่าสัมประสิทธิ์ของทาร์เก็ตแต่ละตัวไม่มีเงื่อนไขบังคับ ทำให้ค่าสัมประสิทธิ์ของทาร์เก็ตสามารถเปลี่ยนไปตามความรุนแรง TMR ของช่องสัญญาณได้

## 5. สรุป

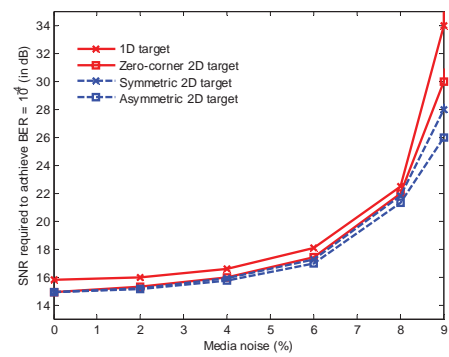
BPMR เป็นเทคโนโลยีที่สามารถเพิ่มความจุข้อมูลของฮาร์ดดิสก์ได้มากขึ้น บทความนี้จะศึกษาความเป็นไปได้ในการใช้ทาร์เก็ตสองมิติกับระบบ BPMR แบบ staggered ซึ่งจากการทดลองพบว่าทาร์เก็ตสองมิติมีสมรรถนะที่ดีกว่าทาร์เก็ตหนึ่งมิติ และทาร์เก็ตสองมิติแบบไม่สมมาตรทันทนาต่อสัญญาณรบกวนสื่อบันทึกและ TMR อ่อนกว่าทาร์เก็ตสามะที่จะจรวจหาไว้เทอร์บิเมื่อใช้กับทาร์เก็ตแบบต่างๆ จะมีความซับซ้อนไม่เท่ากับ โดยบางจรวจหาไว้เทอร์บิที่ใช้กับทาร์เก็ตแบบไม่สมมาตร จะมีความซับซ้อนสูงสุด ตามด้วยทาร์เก็ตมิติแบบสมมาตร ทาร์เก็ตสองมิติแบบที่มีมุมเท่ากับศูนย์ และทาร์เก็ตหนึ่งมิติ ตามลำดับ

## กติกากรรมประกาศ

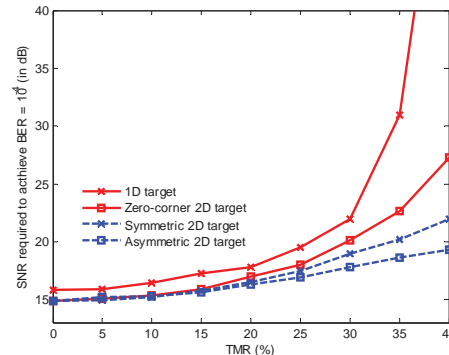
งานวิจัยนี้ได้รับการสนับสนุนทุนวิจัย สถาบันวิจัยและพัฒนา มหาวิทยาลัยราชภัฏรัตนโกสินทร์ หมายเลขทุน GB-58-03



รูปที่ 3 สมรรถนะของทาร์เก็ตแบบต่างๆ ในรูปแบบของอัตราข้อผิดพลาดของบิตกับ SNR



รูปที่ 4 สมรรถนะของทาร์เก็ตแบบต่างๆ ตามความรุนแรงของสัญญาณรบกวนสื่อบันทึกต่างๆ



รูปที่ 5 สมรรถนะของทาร์เก็ตแบบต่างๆ ตามความรุนแรงของ TMR ต่างๆ

## เอกสารอ้างอิง

- [1] S. Nabavi, "Signal processing for bit-patterned media channel with intertrack interference," Ph.D. dissertation, Dept. Elect. Eng. Comp. Sci., Carnegie Mellon University, Pittsburgh, PA, 2008.
- [2] Y. Shiroishi, et al., "Future options for HDD storage," *IEEE Trans. Magn.*, vol. 45, no. 10, pp. 3816–3822, Oct. 2009.
- [3] Y. Ng, et al., "Channel modeling and equalizer design for staggered islands bit-patterned media recording," *IEEE Trans. Magn.*, vol. 48, no. 6, pp. 1976 - 1983, Jun. 2012.
- [4] S. Koonkarnkhai, P. Keeratiwintakorn, and P. Kovintavewat, "Target and equalizer design for high-density bit-patterned media recording," *ECTI Trans. CIT*, vol.6, no. 2, pp. 175 – 182, Nov. 2012 .
- [5] G. D. Forney, "Maximum-likelihood sequence estimation of digital sequences in the presence of intersymbol interference," *IEEE Trans. Inform. Theory*, vol. IT-18, no. 3, pp. 363-378, May 1972.
- [6] J. Moon and W. Zeng, "Equalization for maximum likelihood detector," *IEEE Trans. Magn.*, vol. 31, no. 2, pp. 1083–1088, Mar. 1995.